



ViLiPP: Визуализатор многомерных задач линейного программирования

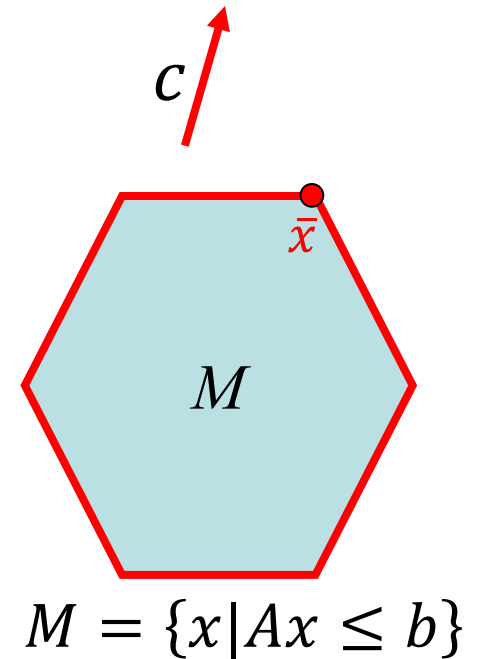
асп. Н.А. Ольховский
д.ф.-м.н. Л.Б. Соколинский

Южно-Уральский государственный университет
(национальный исследовательский университет)

Задача линейного программирования

$$\bar{x} = \arg \max \{ \langle c, x \rangle \mid Ax \leq b \}$$

- $x \in \mathbb{R}^n$
- A – матрица $m \times n$
- b – вектор размерности m
- c – вектор размерности n
- $\langle c, x \rangle$ – скалярное произведение



Цель исследования

Разработать новые методы использования искусственных нейронных сетей для решения многомерных задач линейного программирования

Предшествующие работы

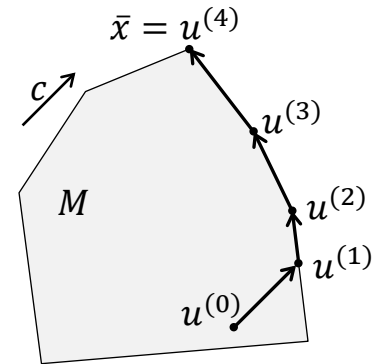
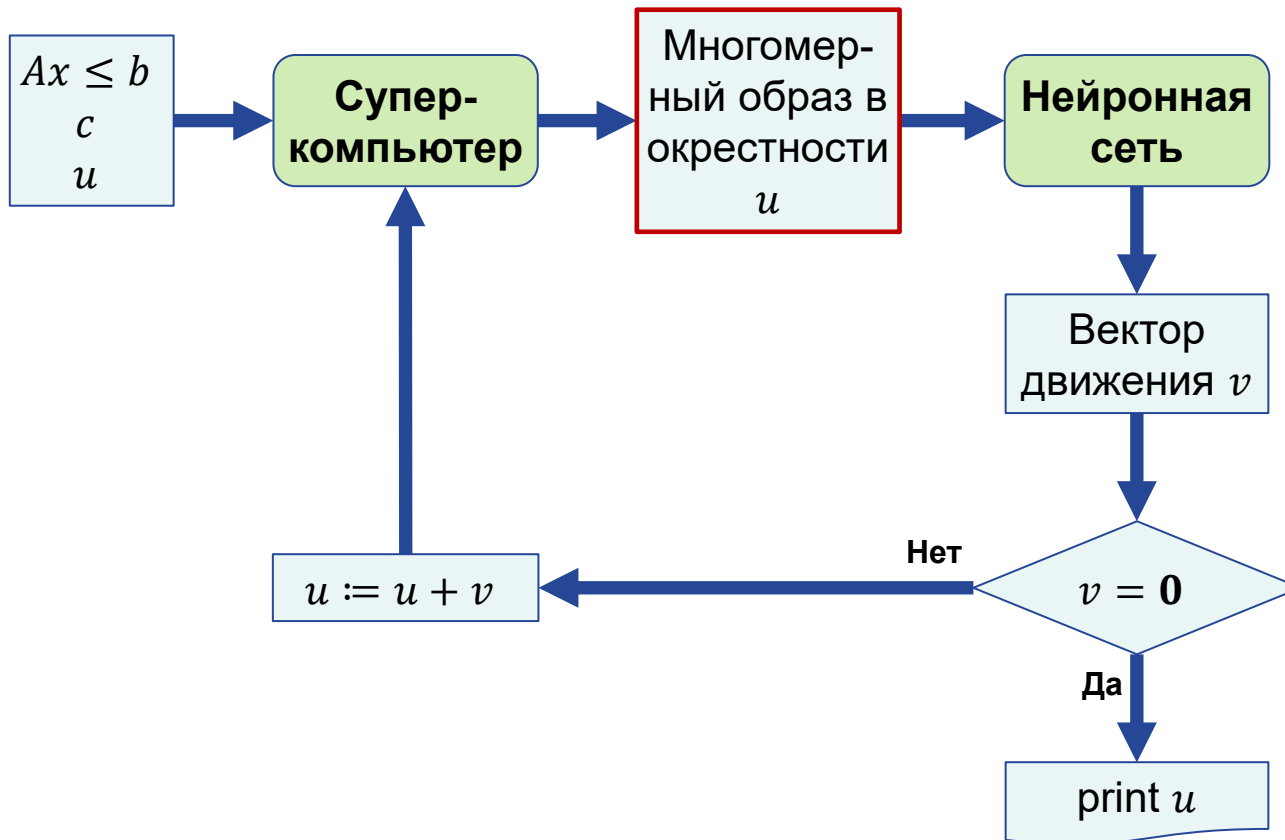
Все публикации основываются на модели Хопфилда-Танка

- Используется рекуррентная нейронная сеть на базе минимизации энергетической функции
- Сеть работает до достижения состояния равновесия (вход=выход)
- Архитектура нейронной сети зависит от задачи
- Необходимо придумывать энергетическую функцию и доказывать сходимость
- Нельзя предсказать количество тактов работы сети
- Достижение равновесия не гарантирует правильность ответа
- Проблемы с устойчивостью по Ляпунову

- Tank D.W., Hopfield J.J. Simple 'neural' optimization networks: An A/D converter, signal decision circuit, and a linear programming circuit // IEEE transactions on circuits and systems. 1986. Vol. CAS-33, no. 5. P. 533-541. <https://doi.org/10.1109/TCS.1986.1085953>.
- Kennedy M.P., Chua L.O. Unifying the Tank and Hopfield Linear Programming Circuit and the Canonical Nonlinear Programming Circuit of Chua and Lin // IEEE Transactions on Circuits and Systems. 1987. Vol. 34, no. 2. P. 210-214. <https://doi.org/10.1109/TCS.1987.1086095>.
- Nonlinear Switched-Capacitor "Neural" Networks for Optimization Problems / Rodriguez-Vazquez A., Dominguez-Castro R., Rueda A., Huertas J., and Sanchez-Sinencio E. // IEEE Transactions on Circuits and Systems. 1990. Vol. 37, no. 3. P. 384-398. <https://doi.org/10.1109/31.52732>.
- Zak S.H., Upatising V. Solving Linear Programming Problems with Neural Networks: A Comparative Study // IEEE Transactions on Neural Networks. 1995. Vol. 6, no. 1. P. 94-104. <https://doi.org/10.1109/72.363446>.
- Malek A., Yari A. Primal-dual solution for the linear programming problems using neural networks // Applied Mathematics and Computation. 2005. Vol. 167, no. 1. P. 198-211. <https://doi.org/10.1016/J.AMC.2004.06.081>.
- Liu X., Zhou M. A one-layer recurrent neural network for non-smooth convex optimization subject to linear inequality constraints // Chaos, Solitons and Fractals. 2016. Vol. 87. P. 39-46. <https://doi.org/10.1016/j.chaos.2016.03.009>.

.....

Идея нашего подхода



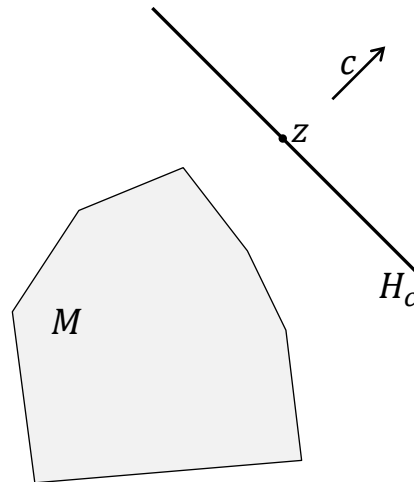
Построение многомерного образа

- Целевая гиперплоскость
- Целевая проекция
- Рецептивное поле

Целевая гиперплоскость

$$H_c = \{x \in \mathbb{R}^n \mid \langle c, x - z \rangle = 0\}$$

$$\forall x \in M: \langle c, x - z \rangle < 0$$

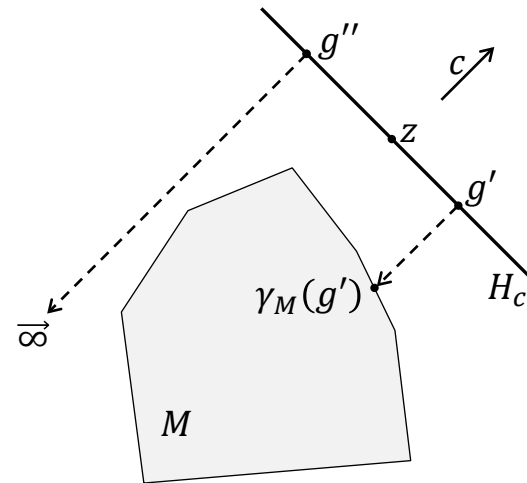


Целевая проекция на многогранник

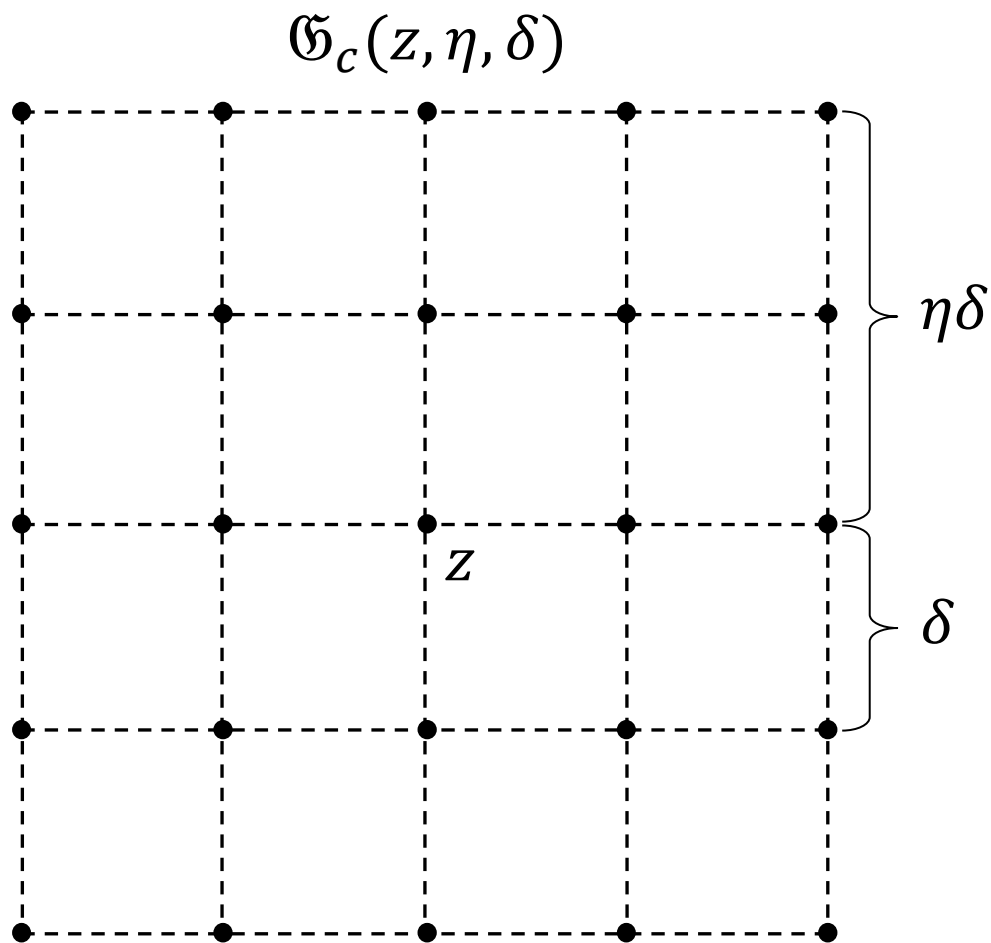
$$\gamma_M(x)$$

$$\gamma_M(g) = \begin{cases} g - \sigma_M(g)c, & \text{если } \exists \sigma \in \mathbb{R}_{\geq 0} : g - \sigma c \in M \\ \overrightarrow{\infty}, & \text{если } \neg \exists \sigma \in \mathbb{R}_{\geq 0} : g - \sigma c \in M \end{cases}$$

$$\sigma_M(g) = \min\{\sigma \in \mathbb{R}_{\geq 0} \mid g - \sigma c \in M\}$$



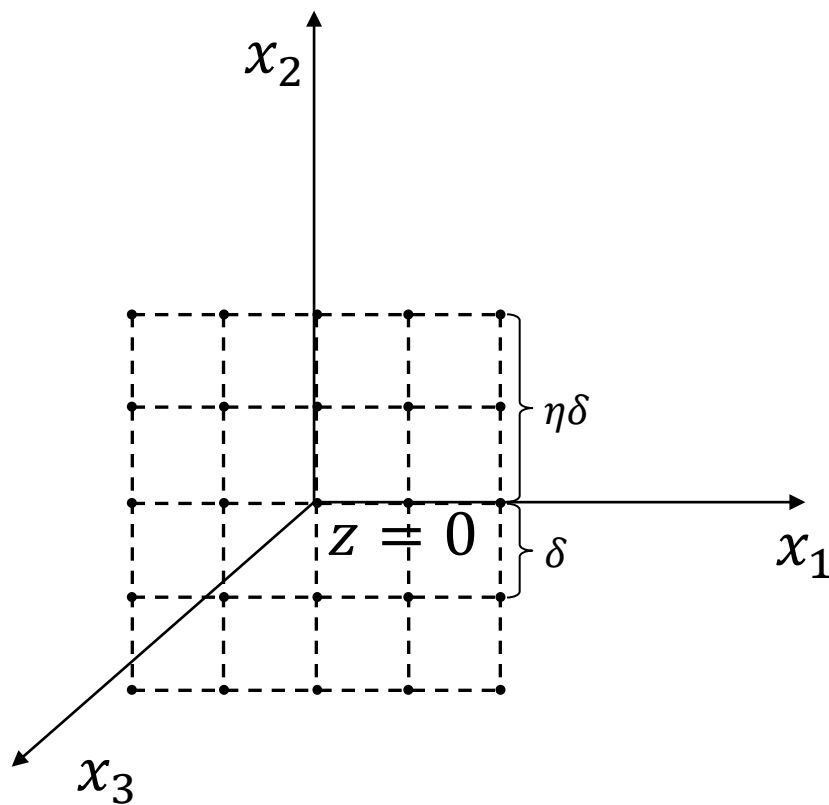
Рецептивное поле



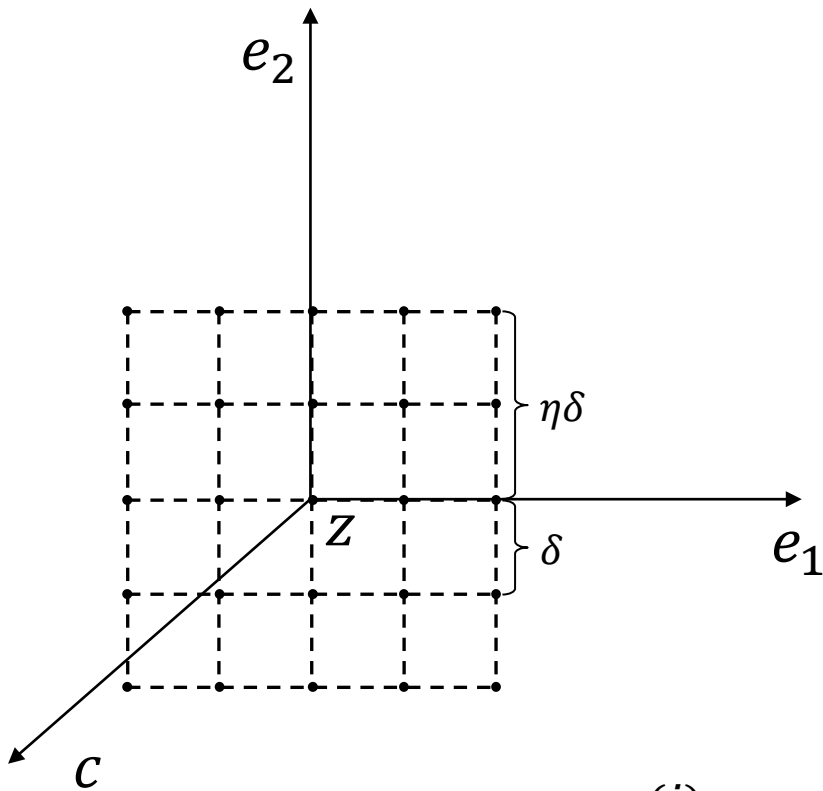
η – ранг

δ – ПЛОТНОСТЬ

Построение рецептивного поля



Размещение рецептивного поля в H_c



$$c^{(0)} = c = (c_1, c_2, c_3, c_4, \dots, c_{n-1}, c_n);$$

$$c^{(1)} = \begin{cases} \left(-\frac{1}{c_1} \sum_{i=2}^n c_i^2, c_2, c_3, c_4, \dots, c_{n-1}, c_n\right), & \text{если } c_1 \neq 0; \\ (1, 0, \dots, 0), & \text{если } c_1 = 0; \end{cases}$$

$$c^{(2)} = \begin{cases} \left(0, -\frac{1}{c_2} \sum_{i=3}^n c_i^2, c_3, c_4, \dots, c_{n-1}, c_n\right), & \text{если } c_2 \neq 0; \\ (0, 1, 0, \dots, 0), & \text{если } c_2 = 0; \end{cases}$$

$$c^{(3)} = \begin{cases} \left(0, 0, -\frac{1}{c_3} \sum_{i=4}^n c_i^2, c_4, \dots, c_{n-1}, c_n\right), & \text{если } c_3 \neq 0; \\ (0, 0, 1, 0, \dots, 0), & \text{если } c_3 = 0; \end{cases}$$

.....

$$c^{(n-2)} = \begin{cases} \left(0, \dots, 0, -\frac{1}{c_{n-2}} \sum_{i=n-1}^n c_i^2, c_{n-1}, c_n\right), & \text{если } c_{n-2} \neq 0; \\ (0, \dots, 0, 1, 0, 0), & \text{если } c_{n-2} = 0; \end{cases}$$

$$c^{(n-1)} = \begin{cases} \left(0, \dots, 0, -\frac{c_n^2}{c_{n-1}}, c_n\right), & \text{если } c_{n-1} \neq 0; \\ (0, \dots, 0, 0, 1, 0), & \text{если } c_{n-1} = 0. \end{cases}$$

$$e^{(i)} = \frac{c^{(i)}}{\|c^{(i)}\|} \quad (i = 1, \dots, n - 1)$$

Координаты точки по её номеру

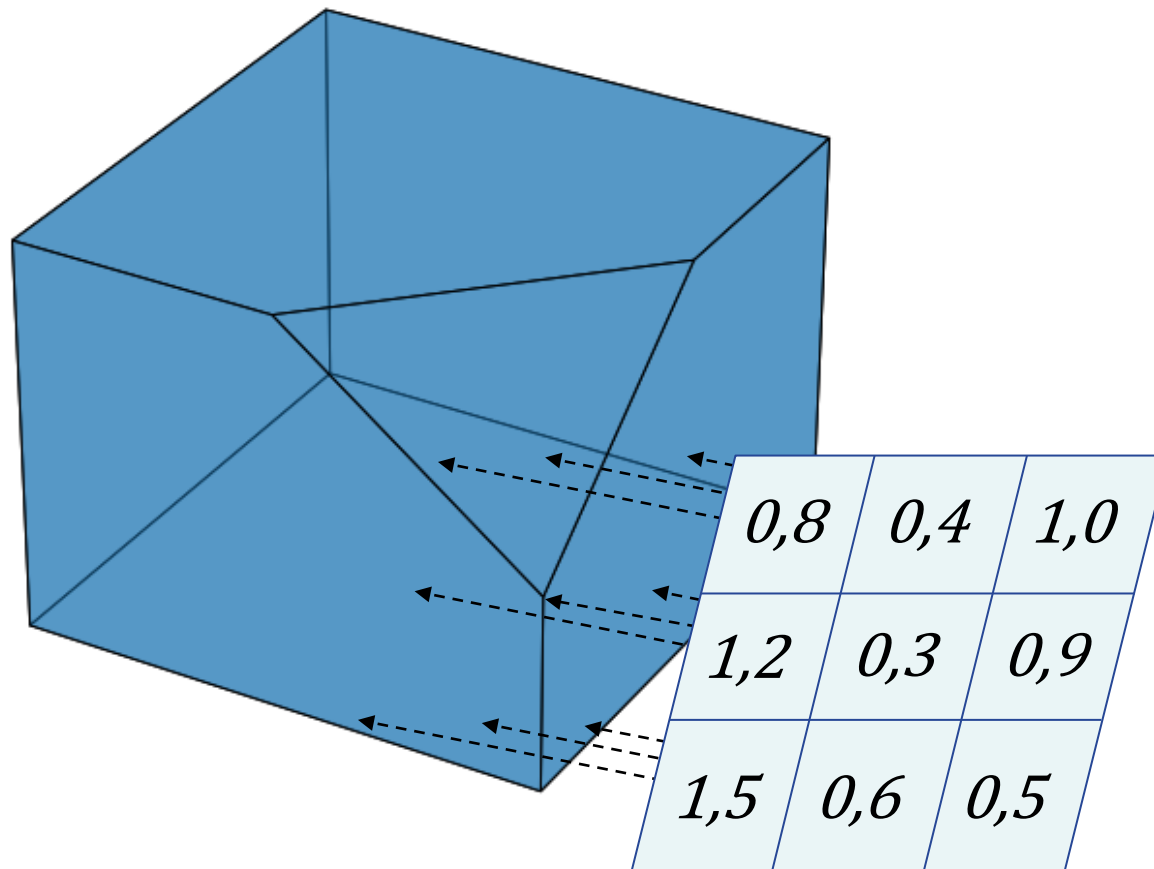
Алгоритм 2 Функция G вычисляет точку рецептивного поля по ее номеру k

Require: $z \in H_c, \eta \in \mathbb{N}, \delta \in \mathbb{R}_{>0}$

```
1: function  $G(k, n, z, \eta, \delta)$ 
2:   for  $j = (n - 1) \dots 1$  do
3:      $l_j := \lfloor k / (2\eta + 1)^{j-1} \rfloor$ 
4:      $k := k \bmod (2\eta + 1)^{j-1}$ 
5:   end for
6:    $g := z$ 
7:   for  $j = 1 \dots (n - 1)$  do
8:      $g := g + (l_j \delta - \eta \delta) e^{(j)}$ 
9:   end for
10:   $G := g$ 
11: end function
```

Временная сложность может быть оценена как $O(n^2)$

Образ рецептивного поля



Образ рецептивного поля

Алгоритм 4 Построение образа $\mathfrak{J}(z, \eta, \delta)$

Require: $z \in H_c, \eta \in \mathbb{N}, \delta \in \mathbb{R}_{>0}$

```
1: function  $\mathfrak{J}(z, \eta, \delta)$ 
2:    $\mathfrak{J} := []$ 
3:   for  $k = 0 \dots ((2\eta + 1)^{n-1} - 1)$  do
4:      $g_k := G(k, n, z, \eta, \delta)$ 
5:      $\mathfrak{J} := \mathfrak{J} \# [\rho_c(\gamma_M(g_k))]$ 
6:   end for
7: end function
```

Сопряжение с нейронной сетью

Алгоритм 5 Линейное программирование с использованием DNN

Require: $u^{(1)} \in H_i \cap M$, $\langle \tilde{a}_i, c \rangle > 0$, $z \in H_c$; $\eta \in \mathbb{N}$, $\delta \in \mathbb{R}_{>0}$

1: $k := 1$

2: **repeat**

3: $\mathcal{I} := \mathfrak{J}(u^{(k)}, \eta, \delta)$

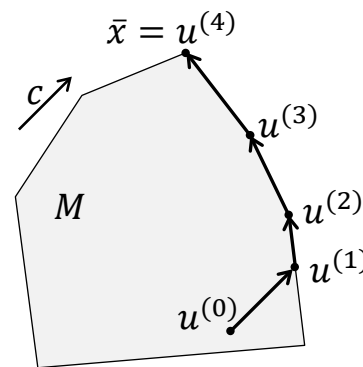
4: $u^{(k+1)} := \text{DNN}(\mathcal{I})$

5: $k := k + 1$

6: **until** $u^{(k)} \neq u^{(k-1)}$

7: $\bar{x} := u^{(k)}$

8: **stop**



Нужен суперкомпьютер

$$K_{\mathfrak{G}} = (2\eta + 1)^{n-1}$$

Параллельный алгоритм

Алгоритм 7 Параллельный алгоритм построение образа \mathfrak{J} задачи ЛП

Мастер	Рабочий ($l=0, \dots, L-1$)
1: input n	1: input $n, m, A, b, c, z, \eta, \delta$
2: $\mathfrak{J} := []$	2: $L := \text{NumberOfWorkers}$
3: $k := 0$	3: $\mathcal{L}_{\text{map}(l)} := [lm/L, \dots, ((l+1)m/L) - 1]$
4: repeat	4: repeat
5: SendToWorkers k	5: RecvFromMaster k
6:	6: $\mathcal{L}_{\text{reduce}(l)} := \text{Map} (F_k, \mathcal{L}_{\text{map}(l)})$
7:	7: $\rho_l := \text{Reduce} (\oplus, \mathcal{L}_{\text{reduce}(l)})$
8: RecvFromWorkers $[\rho_0, \dots, \rho_{L-1}]$	8: SendToMaster ρ_l
9: $\rho := \text{Reduce} (\oplus, [\rho_0, \dots, \rho_{L-1}])$	9:
10: $\mathfrak{J} := \mathfrak{J} \# [\rho]$	10:
11: $k := k + 1$	11:
12: $\text{exit} := (k \geq (2\eta + 1)^{n-1})$	12:
13: SendToWorkers exit	13: RecvFromMaster exit
14: until exit	14: until exit
15: output \mathfrak{J}	15:
16: stop	16: stop

Реализация

<https://github.com/nikolay-olkhovskiy/LP-visualization-MPI>

- C++
- MPI & OpenMP
- Параллельный программный каркас BSF
 - Sokolinsky L.B. BSF-skeleton: A template for parallelization of iterative numerical algorithms on cluster computing systems // MethodsX. 2021. Vol. 8. Article 101437. DOI: [10.1016/j.mex.2021.101437](https://doi.org/10.1016/j.mex.2021.101437)
 - <https://github.com/leonid-sokolinsky/BSF-skeleton>

Суперкомпьютер «Торнадо ЮУрГУ»

Количество узлов:	384
Тип процессоров:	2 x Intel Xeon X5680 (12 ядер по 3.33 ГГц; 2 потока на ядро)
Оперативная память узла:	24 Гб
Тип сопроцессора:	Intel Xeon Phi SE10X: (61 ядро по 1.1 ГГц; 4 потока на ядро)
Память сопроцессора:	8 Гб
Тип системной сети:	InfiniBand QDR
Тип управляющей сети:	Gigabit Ethernet
Операционная система:	Linux CentOS 6.2

Вычислительные тесты

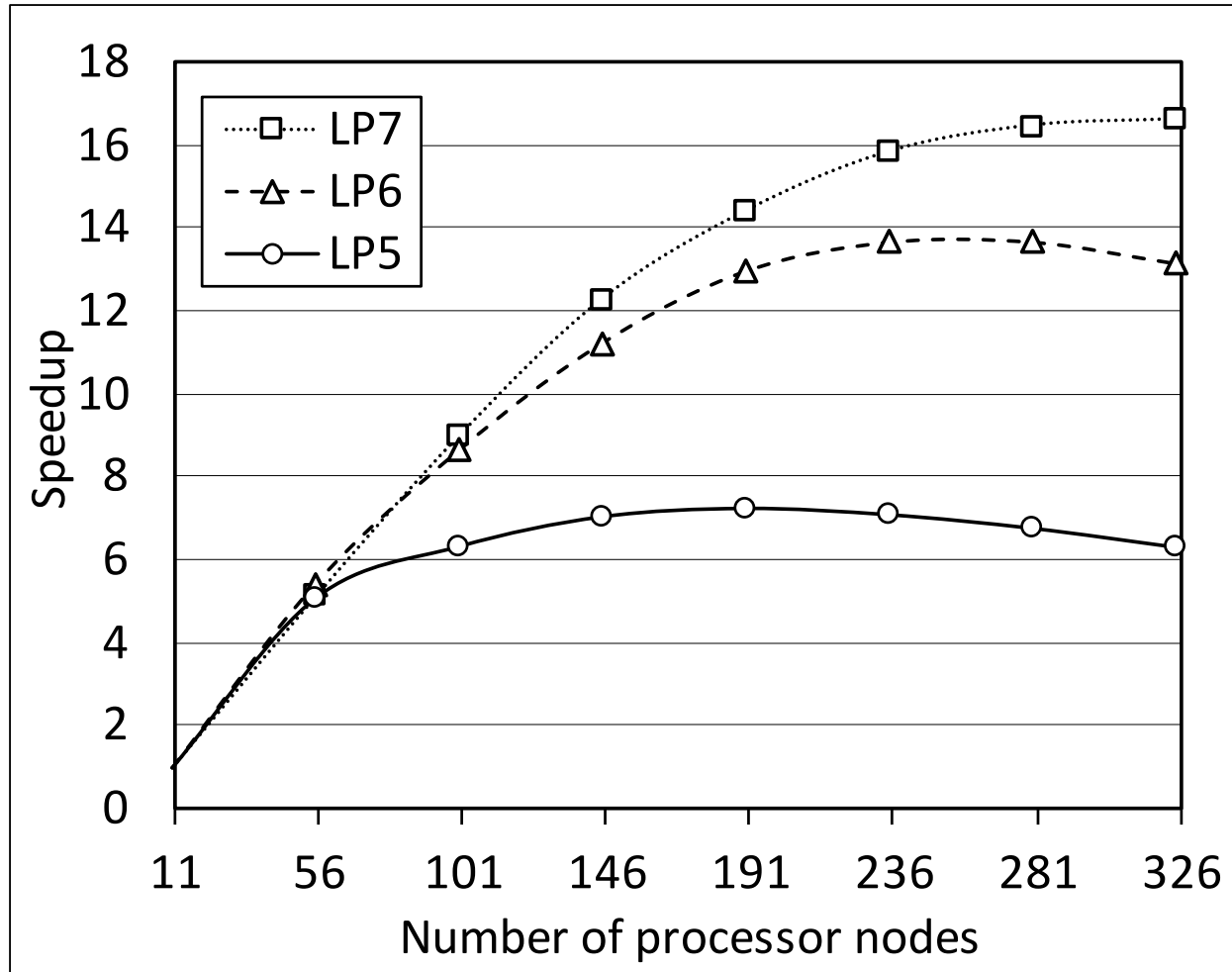
Таблица 2. Параметры тестовых задач ЛП

Идентификатор задачи	Число переменных	Число ограничений	Процент ненулевых значений в A	Мощность рецептивного поля
$LP7$	7	4016	100%	15 625
$LP6$	6	4014	100%	3 125
$LP5$	5	4012	100%	625

Sokolinsky L.B., Sokolinskaya I.M. FRaGenLP: A Generator of Random Linear Programming Problems for Cluster Computing Systems // Parallel Computational Technologies. PCT 2021. Communications in Computer and Information Science. 2021, vol. 1437. 164-177. DOI:[10.1007/978-3-030-81691-9_12](https://doi.org/10.1007/978-3-030-81691-9_12)

<https://github.com/leonid-sokolinsky/BSF-LPP-Generator>

Масштабируемость



Применимость на практике

- Наблюдается экспоненциальный рост времени решения задачи:

Размерность	Время (на 11 узлах)
$n = 5$	10 секунд
$n = 7$	5 минут
$n = 9$	1.5 часа

- При современном уровне развития вычислительной техники, предложенный метод может быть эффективен для задач ЛП с $n \leq 100$ и $m \leq 100\,000$.

Спасибо за внимание!